

岩手大学 工学部 正会員 安藤 昭
北海道大学 工学部 正会員 尾崎 晃

1. 緒言

第1報で発表したように研究対象海岸の河口構造は二次元解析が可能であると思われる所以河口における二次元解析を試みた。今回は流れがある場合の波高の変化について第2報として述べる。

2. 実験装置並びに実験方法

実験装置の大略を図-1に示す。実験水槽は $24 \times 0.3 \times 0.8\text{m}$ の波浪水槽にS型片吸込渦巻ポンプを使用した循環管路を付設せしめたものを用いた。波高は下流側吸込口より上流の方向へむかって1mおよび3mの位置の2ヶ所に抵

抗線式波高計と設置して測定

し電磁オシログラフに記録させた。流量の調節はポンプに

取りつけられたバルブで行い

流速は波高計の中間に位置に

おいて小型プロペラ式流速計によって求めた。実験方法は反射波の影響をなくすために波は最初の数波を用いた。

3. 水路特性

波高および流れに対する水路の側壁の効果を見積るために設置された二本の波高計の間ににおいて静水時および通水時の波高を測定した。その結果二本の波高計においていずれの場合も波高の変化は見られなかった。またセットした波高計の各々の場所において水路方向および横断方向における鉛直流速分布を測定した。その結果を図-2に示す。これらの結果よりいずれの方向においても流速分布は一様と考えられる。以上の結果より設置された二本の波高計の間には水路の側壁の影響は無視されると考えられる。

4. 理論および実験結果

波と流れが共存する場合の波高の変化はYi-Yuanの取り扱い理論を浅海波の領域まで拡張してエネルギー保存則の仮定のもとに求めると次式を得る。

$$\frac{H_s}{L_s} = \sqrt{\frac{1}{2} \left[1 + \frac{(4\pi h/L_s)(C/C_s + U/C_s)^{-1}}{\sinh[(4\pi h/L_s)(C/C_s + U/C_s)^{-1}]} \right] \frac{C}{C_s} + \frac{U}{C_s}} \quad \dots \dots (1)$$

ここに

$$N_s = \frac{1}{2} \left(1 + \frac{4\pi h/L_s}{\sinh 4\pi h/L_s} \right)$$

また Longuet-Higginsによって導かれた radiation stress の項を導入して求めたエネルギーの伝播

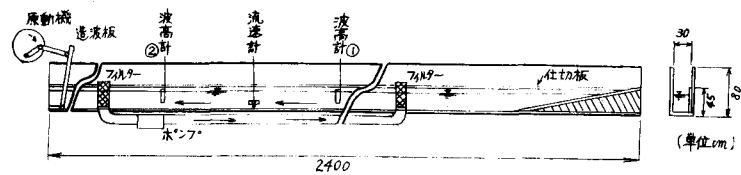


図-1

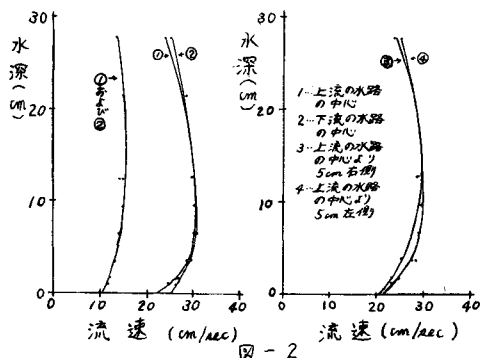


図-2

